

탄산염 용액에 따른 uranyl peroxy carbonate 착물의 안정성 및 분해속도 평가

김광욱, 이근영, 이일희, 소지양, 백예지, 박민성, 정동용, 정의창, 문제권

한국원자력연구원, 대전광역시 유성구 대덕대로 989번길 111

nkwlkim@kaeri.re.kr

1. 서론

최근 원자력연구원에서는 Fig.1과 같이 우라늄 스크랩과 같은 우라늄 산화물을 처리하기 위한 탄산염 공정을 개발하였다.¹ 이 공정에서는 H_2O_2 를 갖는 탄산염 용액에서 우라늄만을 선택적으로 $UO_2(O_2)_x(CO_3)_y^{2-}$ 착물 형태로 용해하고, 이후 이 용액의 pH를 3 정도로 조절하여 우라늄을 UO_4 로 고효율 침전 회수한다. 이때 pH를 조절하기 위해 사용되는 산과 UO_4 침전 시 발생되는 CO_2 가스를 탄산염으로 회수하기 위한 알카리 용액을 UO_4 침전 후 용액으로부터 회수 재순환시킬 수 있다면 Fig.1의 공정은 2차 폐기물이 발생하지 않는 매우 친환경적인 공정이 된다.

$UO_2(O_2)_x(CO_3)_y^{2-}$ 착물을 구성하는 O_2^{2-} 성분은 가열되는 알칼리 조건에서 그 불안정성 때문에 $UO_2(O_2)_x(CO_3)_y^{2-}$ 착물로 부터 O_2^{2-} 가 빠져나가며 $UO_2(CO_3)_3^{4-}$ 형태로 변화될 수 있으므로 탄산염 공정에서 $UO_2(O_2)_xCO_3y^{2-}$ 착물의 안정성은 조업 시, 우라늄 착물 용액의 처리 시간 및 공정에서 이 용액의 저장 시간 결정에 영향을 주는 중요한 변수가 될 수 있다. 그러나 지금까지 $UO_2(O_2)_x(CO_3)_y^{2-}$ 착물의 안정성에 관한 연구가 없어 본 연구에서는 탄산염용액의 온도 및 시간에 따른 $UO_2(O_2)_x(CO_3)_y^{2-}$ 안정성 평가하고 분해속도를 측정하였다.

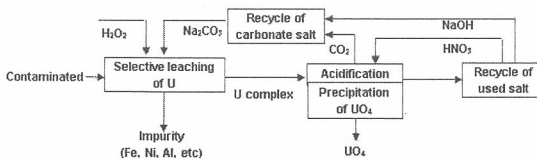


Fig. 1. 우라늄 스크랩을 처리하기 위한 탄산염 공정.

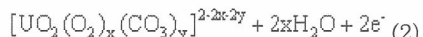
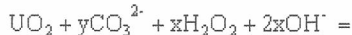
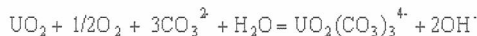
2. 실험

본 연구에서 $UO_2(O_2)_xCO_3y^{2-}$ 용액은 UO_2 분말을 1 M H_2O_2 를 가진 0.5 M Na_2CO_3 용액에서 용해시켜 제조하였고, 이를 용액을 25, 40, 60, 80°C

에서 보관시키며, 시간에 따라 용액의 U , H_2O_2 농도를 측정하였다. 우라늄과 O_2^{2-} 성분은 Arsenazo III 발색제를 사용하는 비색분석과 Reflectoquant (Merck RQflex plus 10)를 사용하여 각각 분석을 하였고, 우라늄 착물 용액중의 $UO_2(O_2)_x(CO_3)_y^{2-}$ 과 $UO_2(CO_3)_3^{4-}$ 비율을 Raman 분광기를 사용하여 측정함으로써 $UO_2(O_2)_x(CO_3)_y^{2-}$ 의 분해속도를 결정하였다.

3. 결과 및 토의

탄산염 용액에서 UO_2 은 식(1)과 같이 용해도가 약 20 g/l 정도인 $UO_2(CO_3)_3^{4-}$ 으로 용해되며, 이 탄산염 용액에 H_2O_2 가 존재하면 UO_2 은 식(2)와 같이 용해도가 약 80 g/l인 $UO_2(O_2)_x(CO_3)_y^{2-}$ 으로 용해된다.



여기서 $y = 0, 1, 2$, and $x/y = 1/2, 2/1, 3/0$ 이다.

Fig.2에는 $UO_2(O_2)_x(CO_3)_y^{2-}$ 제조 후 시간에 따른 용액에 존재하는 O_2^{2-} 농도 변화가 나타나 있다. 처음 2시간 내의 급격한 O_2^{2-} 농도 감소는 용액 제조 시 과량으로 공급된 H_2O_2 의 변화에 의한 것이고, 이후 완만한 감소는 $UO_2(O_2)_x(CO_3)_y^{2-}$ 중에 존재하는 O_2^{2-} 분해에 의한 것이다. Fig.3에는 농도가 5×10^{-4} M인 $UO_2(O_2)_x(CO_3)_y^{2-}$ 용액의 시간에 따른 흡광도 변화가 나타나 있다. 초기 용액에는 341 nm에서 $UO_2(O_2)_x(CO_3)_y^{2-}$ 착물 피크가 뚜렷이 보이고, 이후 시간에 따라 점차 사라지면서 $UO_2(CO_3)_3^{4-}$ 으로 변화됨에 따라 약하지만 435, 448, and 462 nm에서 $UO_2(CO_3)_3^{4-}$ 의 피크가 관찰된다. 그러나 흡광도 측정 결과만 이용해서는 $UO_2(O_2)_x(CO_3)_y^{2-}$ 와 $UO_2(CO_3)_3^{4-}$ 착물이 공존하는

용액에서 이들 두 우라늄 착물 이온을 정확히 정량화하기 어려워, 순수한 $\text{UO}_2(\text{O}_2)_x(\text{CO}_3)_y^{z-}$ 와 $\text{UO}_2(\text{CO}_3)_3^{4-}$ 용액을 제조하여 Raman 분광기에 의해 이들 종의 변화를 관찰하였다. 초기에 $\text{UO}_2(\text{O}_2)_x(\text{CO}_3)_y^{z-}$ 만 존재하는 용액에서 시간이 경과한 후 용액에서 발견되는 $\text{UO}_2(\text{CO}_3)_3^{4-}$ 은 $\text{UO}_2(\text{O}_2)_x(\text{CO}_3)_y^{z-}$ 으로부터 발생된 것임으로 시간경과에 따른 두 착물의 Raman 스펙트라를 각각 측정함으로써 용액중의 $\text{UO}_2(\text{CO}_3)_3^{4-}$ 와 $\text{UO}_2(\text{O}_2)_x(\text{CO}_3)_y^{z-}$ 의 농도를 동시에 정량화할 수 있었다. 이를 통해 Table 1에 보이는 것처럼 Fig.2에서 측정된 O_2^{2-} 농도가 용액 중 $\text{UO}_2(\text{O}_2)_x(\text{CO}_3)_y^{z-}$ 착물 농도를 대변하는 것을 알 수 있어, 이러한 결과와 용액중의 U 농도 값을 이용하여 $\text{UO}_2(\text{O}_2)_x(\text{CO}_3)_y^{z-}$ 착물의 UO_2^{2+} 와 O_2^{2-} 농도 비가 1: 1임이 알 수 있고, 이를 통하여 $\text{UO}_2(\text{O}_2)_x(\text{CO}_3)_y^{z-}$ 은 $x/y=1/2$ 인 $\text{UO}_2(\text{O}_2)(\text{CO}_3)_2^{4-}$ 형태임을 확인하였다.

Table 1. 시간에 따른 탄산염 용액 중 Raman에 의해 측정된 $\text{UO}_2(\text{O}_2)_x(\text{CO}_3)_y^{z-}$ 농도와 용액에서 직접 측정된 O_2^{2-} 농도.

| day | by Raman spectroscopy (M) | by peroxide assay (M) | deviation (%) |
|-----|---------------------------|-----------------------|---------------|
| 4 | 7.33×10^{-2} | 7.61×10^{-2} | 3.9 |
| 16 | 6.94×10^{-2} | 7.27×10^{-2} | 4.7 |
| 240 | 3.59×10^{-2} | 3.77×10^{-2} | 4.8 |

Fig.2에서 온도에 따라 측정된 O_2^{2-} 농도 변화값과 식(3)을 사용하여 $\text{UO}_2(\text{O}_2)(\text{CO}_3)_2^{4-}$ 의 분해속도를 측정하였다.

$$-r = -dC/dt = k C^n = k_0 \exp(-E/RT) C^n \quad (3)$$

여기서 r , C , k , k_0 , t , E , R , n , T 는 각각 분해속도 (mol/s), 우라늄 착물 농도 (mol/l), 속도상수(s^{-1}), 반응초기 상수, 시간 (s), 활성화 에너지 (JK^{-1}), 가스 상수 ($8.314 \text{Jmol}^{-1}\text{K}^{-1}$), 반응차수, 온도(K)를 나타낸다. Fig.2의 온도에 따른 변화는 Fig.4에서 보듯이 식(3)에서 반응차수가 1차일 때 가장 잘 표현할 수 있었다. 이를 통하여 $\text{UO}_2(\text{O}_2)(\text{CO}_3)_2^{4-}$ 의 분해속도는 활성화 에너지 값 $7.144 \times 10^3 \text{Jmol}^{-1}$ 을 가지며 식(4)와 같이 최종적으로 표현할 수 있었다.

$$-dC/dt = 78.5 \exp(-8.59 \times 10^2/T) C \quad (4)$$

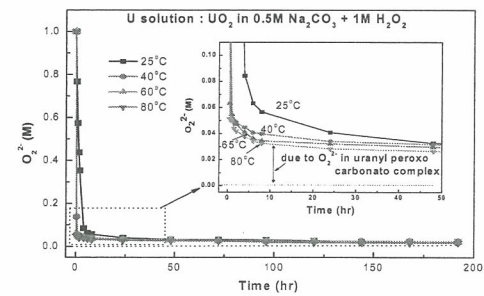


Fig. 2. $\text{UO}_2(\text{O}_2)_x(\text{CO}_3)_y^{z-}$ 착물 용액에서 O_2^{2-} 농도변화.

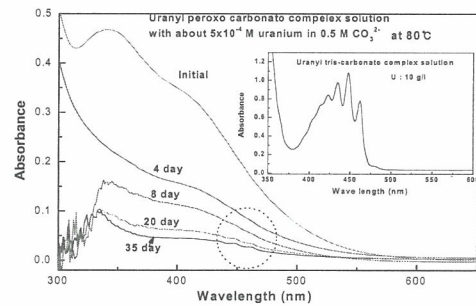


Fig. 3. 시간에 따른 $\text{UO}_2(\text{O}_2)_x(\text{CO}_3)_y^{z-}$ 용액의 흡광도 변화.

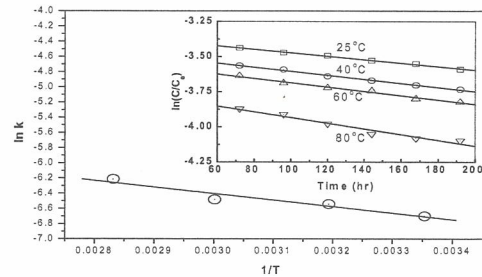


Fig. 4. 정전압 운전 시 각 방에서 이온농도, 전류 및 pH 변화.

4. 감사의 글

본 연구는 교육과학기술부의 원자력연구개발 중장기 계획사업 일환으로 수행된 연구결과입니다.

5. 참고문헌

- [1] K.-W. Kim, et al., Nuclear Technology, 166, 170 (2009).